

川崎製鉄(株) 技術研究所 正員 田中康浩

工藤純一

大阪大学 溶接工学研究所 正員 堀川浩甫

1. はじめに 橋梁等の土木構造物では冷間塑性加工された部材が多く用いられているが、冷間加工された鋼材ではひずみ時効による脆化が大きな問題となる。そのため、たとえば道路橋示方書・鋼橋編では冷間加工における許容曲げ半径(内半径R)を板厚(t)の15倍以上($R \geq 15t$)に規制している。しかしながら、現実にはこの規制を守ることは必ずしも容易ではなく再検討する研究活動も行なわれている。本報告では製造方法の異なる種々の土木構造用鋼材について引張試験、シャルピー試験およびディープノッチ試験を行ない、ひずみ時効による脆化を調べ、その結果をもとに工業的見地から冷間曲げ加工における許容加工量を検討した結果について報告する。

2. 供試鋼材と実験方法 表1に示すような40キロから60キロ級で脱酸、造塊および圧延条件の異なる12種類の鋼板と形鋼を実験に供した。実験はまず最初に橋梁のリブのような強度の曲げ加工を考慮して、各鋼材につき室温で、0%, 3%, 5%, 10%および15%の引張り予ひずみを付与した。次に250°Cで1時間の時効処理を行なったのち、シャルピー試験片(2mmVノッチ、JIS4号)と丸棒試験片(ゲージ部6mmφ×30mmℓ)を切り出し試験に供した。一部については予ひずみ加工後250°C×1hrの時効処理を行なわずに直ちに試験片加工を行ない冷間加工のみによる鋼材の脆化を調べた。またとくに板厚の薄い場合について構造物での破壊挙動を把握するためディープノッチ試験も実施した。

3. 試験結果 各供試鋼材のシャルピー遷移曲線はひずみ時効により図1(SM50B(1)鋼の場合)のように高温側に移行する。図2は予ひずみ量ε=5%における各供試鋼材のvTrsの上昇量△(vTrs)を比較したものである。ε=5%ではvTrsは20~40°C上昇するが、焼ならし材であるSM50CN鋼と焼入れ一焼戻し材であるSM58Q鋼の上昇量が他に比べて小さいことがわかる。しかし、△(vTrs)の大きさには脱酸、造塊および圧延方法の相違による明確な差は認められない。また図2から明らかなように、ひずみ時効による△(vTrs)の60~70%は冷間加工のみによるものであることが知られる。図3は0°Cシャルピーエネルギー-vEoの予ひずみ量による変化を示したものである。ε=3%ではす

表1 供試鋼材の化学成分

Steel	Thick (mm)	C	Si	Mn	P	S	Nb	V	Cu	sol Al Ingot	N _{total}	Process
SM41B	25	0.14	0.02	1.16	0.018	0.015	—	—	—	0.003	0.005	Semi-killed Ingot
SM50B(1)	25	0.15	0.35	1.45	0.020	0.009	—	—	—	0.036	0.001	Al-killed Ingot
SM50B(2)	25	0.16	0.36	1.26	0.024	0.013	—	0.027	—	0.029	<0.001	0.0081 Al-killed Ingot
SM50B(3)	25	0.15	0.32	1.41	0.020	0.013	—	—	—	0.036	<0.001	0.0041 Al-killed Ingot
SM50CN	25	0.15	0.32	1.41	0.020	0.013	—	—	—	0.036	<0.001	0.0041 Al-killed Ingot, normalized
SM58Q	25	0.12	0.36	1.37	0.018	0.005	—	0.042	—	0.054	<0.001	0.0054 Al-killed Ingot, Q.T.
SM41A(1)	12	0.14	0.22	0.83	0.024	0.014	—	—	—	0.026	<0.001	0.0051 Al-killed Ingot
SM41A(2)	25	0.14	0.25	1.05	0.020	0.006	—	—	—	0.038	<0.001	0.0056 Al-killed C.C.
A285C	12.7	0.24	0.003	0.46	0.018	0.026	—	—	—	<0.001	<0.001	0.0028 Rimmed Ingot
SS41 (Flange)	16	0.21	0.22	0.59	0.024	0.012	—	—	—	0.002	<0.001	0.0054 Si-killed Rolled H beam ¹⁾
SM50YB (Flange)	15.4	0.18	0.18	1.17	0.023	0.010	0.026	—	—	<0.001	<0.001	0.0032 Si-killed Rolled H beam ²⁾
SY30	13	0.35	0.16	0.74	0.031	0.016	—	—	0.28	0.003	<0.001	0.0047 Sheet pile ³⁾

Note ; 1) Rolled H beam . 390×300×10×16 (mm)

2) Rolled H beam , 307.9×310.3×154.2 (mm)

3) Sheet pile 400×130×13 (mm)

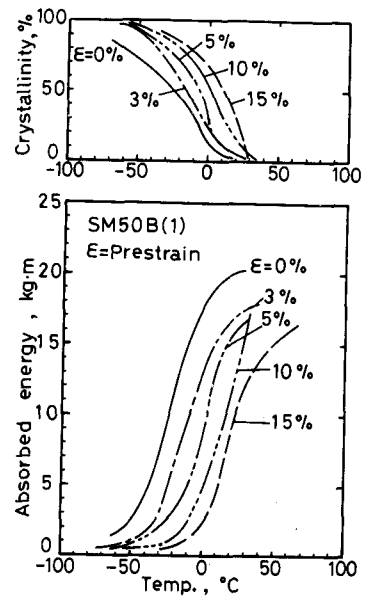


図1 ひずみ時効によるシャルピー遷移曲線の変化 (SM50B(1)鋼)

べての S M - B, C, Q 鋼の vE_o は規格値より十分大きいが、 $\epsilon = 5\%$ では S M 4 1 B と S M 5 0 B (2) 鋼の vE_o が規格を満足しなくなり、さらに $\epsilon = 10\%$ では S M 5 0 B (1) と S M 5 8 Q 鋼を除いた他の S M - B, C 鋼では vE_o が規格を満足できなくなることがわかる。S M 5 8 Q 鋼は $\epsilon = 10\%$ でも vE_o が 1.0 kg-m 以上であり、厳しい冷間加工下でも十分な韌性を有することが知られる。

4. 冷間曲げ加工における許容曲げ半径の検討 S M - B, C 鋼について vE_o が規格値に等しくなる時の予ひずみ量を用いて単純曲げ加工理論における R (内半径) および t と最大相当ひずみ ϵ との関係 ($\epsilon = t / 2R + t$) に従って、各供試鋼材についての許容曲げ半径 R と t の関係を求めて図 4 に示した。 $R - t$ 曲線が下側にあればあるほど厳しい冷間加工が許容されることになる。図中には $R = 15t$ ($\epsilon = 3.2\%$) と $R = 10t$ ($\epsilon = 4.8\%$) の直線を併記したが、すべての S M - B, C 鋼は $R = 15t$ の直線よりは下側にあるが、 $R = 10t$ の直線に対しては S M 4 1 B 鋼が上側になる。すなわちシャルピーエネルギーから考えると $R \geq 15t$ なる現行の道路橋示方書の規制は適当なものであるが、鋼材によっては過分に安全側になる場合もある。一方、 $R \geq 10t$ にすると vE_o が規格値以下になる鋼材が存在することになる。しかし、橋梁のトラフリブ等のように、板厚が薄い場合には、脆性破壊の危険性が少ないと考えられる。試みに板厚 9 mm の S M 4 1 B 鋼を用いて、 $\epsilon = 5\%$ の時効処理をした場合について、ディープノッチ試験 (幅 = 400 mm, ノッチ比 = 0.4) を行なったところ、-30°C では脆性破壊発生時の限界 COD が 2 mm と十分大きく、また 0°C では完全延性破壊を示した。すなわち $\epsilon = 5\%$ ($R \cong 15t$) でも脆性破壊に対して十分な抵抗を有することがわかる。このような点を十分考慮して、各鋼種と板厚ごとにそれぞれ適正な規制値を今後検討していく必要があると思われる。

謝辞 本研究は日本溶接協会鉄鋼部会 H S E 委員会 (委員長 阪大 佐藤教授)において実施された共同研究の一部であり、種々有益なご討論を載いた同委員会委員長はじめ委員各位に深甚の謝意を表します。

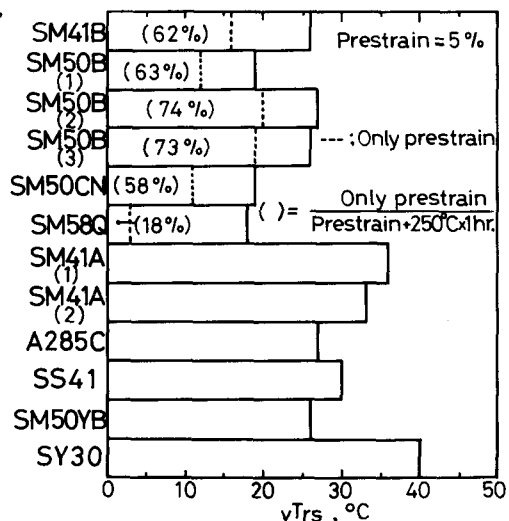


図 2 ひずみ時効による各種鋼材の vTr_s の上昇

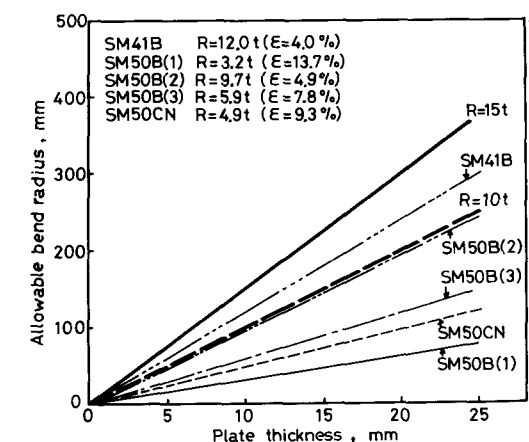
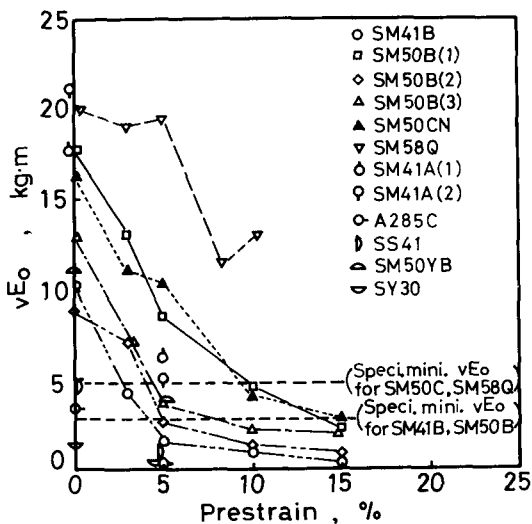


図 4 S M - B, C 鋼における許容曲げ半径と板厚の関係

図 3 ひずみ時効による各種鋼材の vE_o の変化